

الفصل الرابع

عناصر القطاع-s s-BLOCK ELEMENTS

عناصر القطاع-s هي العناصر التي يشغل إلكترونها الأخير مدار s تحت المستوى. تمثل تلك العناصر في الجدول الدوري القياسي أقصى عמודتين ناحية اليسار. وبهذا التعريف، يكون على رأس هذين العמודدين الهيدروجين والهليوم. ومع ذلك، يتحرك الهليوم في الجدول الدوري القياسي *standard periodic table* على رأس المجموعة 18، لأنه مشترك مع عناصر المجموعة 18 الأخرى في أنه غاز غير فعال^{*}.

إذا تجاهلنا الهيدروجين (انظر الفصل الثالث) والهليوم (انظر الفصل الخامس)، فجميع العناصر التي تكون إلكتروناتها الأبعد تحت المستوى s هي فلزات. كلا العמודدين في القطاع-s يشار إليه بأسماء خاصة. عناصر المجموعة الأولى تُعرف بالفلزات القاعدية *alkali metals*، بينما عناصر المجموعة الثانية الفلزات القلوية الأرضية *alkaline earth metals*. بعض البيانات الرئيسية يوضحها الجدول رقم (٤).

* في أشكال أخرى من الجدول الدوري مبنية بشكل صارم على الترتيبات الإلكترونية، يكون الهليوم في المجموعة 2.

الجدول رقم (١، ٤). بعض البيانات عن عناصر القطاع-s.

الفلزات القاعدية						
[Rn] 7s ¹	[Xe] 6s ¹	[Kr] 5s ¹	[Ar] 4s ¹	[Ne] 3s ¹	[He] 2s ¹	
0.270	0.267	0.248	0.235	0.191	0.156	نصف قطر الذرة/nm
0.176	0.169	0.148	0.133	0.095	0.060	نصف قطر الأيون/nm
381	376	402	418	494	519	طاقة التأين الأولى/kJ mol ⁻¹
	2420	2650	3070	4560	7300	طاقة التأين الثانية/kJ mol ⁻¹
	3300	3850	4600	6940	11800	طاقة التأين الثالثة/kJ mol ⁻¹
	76	81	89	107	159	طاقة التذرية/kJ mol ⁻¹
	302	312	337	371	454	نقطة الانصهار/K
	941	961	1032	1156	1615	نقطة الغليان/K
0.7	0.79	0.82	0.82	0.93	0.98	السالبية الكهربائية باولينج
	-2.92	-2.92	-2.92	-2.71	-3.04	$H^+(aq) \rightarrow M(s) \downarrow E^\circ/V$
الفلزات القلوية الأرضية						
[Rn] 7s ²	[Xe] 6s ²	[Kr] 5s ²	[Ar] 4s ²	[Ne] 3s ²	[He] 2s ²	
0.220	0.222	0.215	0.197	0.160	0.112	نصف قطر الذرة/nm
0.140	0.135	0.113	0.099	0.065	0.31	نصف قطر الأيون/nm
510	502	549	590	736	900	طاقة التأين الأولى/kJ mol ⁻¹
	966	1060	1150	1450	1760	طاقة التأين الثانية/kJ mol ⁻¹
	3390	4120	4940	7740	14800	طاقة التأين الثالثة/kJ mol ⁻¹
	159	182	164	178	324	طاقة التذرية/kJ mol ⁻¹
973	1000	1050	1115	923	1560	نقطة الانصهار/K
2010	2143	1655	1757	1363	2742	نقطة الغليان/K
0.9	0.89	0.95	1.00	1.31	1.57	السالبية الكهربائية باولينج
	-2.92	-2.90	-2.89	-2.87	-2.38	$M^{2+}(aq) \rightarrow M^+(s) \downarrow E^\circ/V$

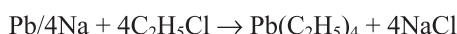
(٤،١) الاستخدامات

Uses

يحتوي العديد من الأطعمة على تلك العناصر، والكثير من تلك المعادن ضروري للصحة. على سبيل المثال، تحتاج إلى أملاح الكالسيوم، وخاصة للأطفال، لتكوين العظام. يساعد توزيع أيونات الصوديوم والبوتاسيوم على تنظيم محتوى الماء للخلايا الحية. ومع ذلك، فإن الاستهلاك الزائد للصوديوم، على سبيل المثال باستخدام الملح الكبير جداً على الطعام، يمكن أن يؤدي إلى الارتفاع الخطير لضغط الدم. من المعروف منذ بداية التسعينيات من القرن العشرين بأن مركبات الليثيوم تظهر تأثيراً صيدلانياً. يمكن أن تساعد جرعات من كربونات الليثيوم، Li_2CO_3 ، في علاج اضطرابات الهوس الاكتئابي. من غير الواضح كيف يحدث ذلك، ولكن من المحتمل أن أيونات الليثيوم في الجسم تؤثر على توازن الصوديوم/البوتاسيوم بين الخلايا وما يحيط بها.

على الرغم من فعاليتها العالية، فإن فلزات القطاع-s لها استخدامات تجارية عديدة وهامة. الصوديوم والمغنيسيوم أوسعها استخداماً، ولكن كميات صغيرة من الفلزات الأخرى ضرورية للتطبيقات الخاصة. أكثر من ١٠٠ ٠٠٠ طن من الصوديوم تستخدم سنوياً، بشكل سبائك مع الرصاص، في تصنيع رباعي إيثيل الرصاص، $\text{Pb}(\text{C}_2\text{H}_5)_4$ ، "مانع للخبط" يضاف للبنزين. ومع ذلك، بسبب الاعتبارات البيئية عن التلوث بالرصاص، تضاءل استخدام الصوديوم لهذا الغرض وانخفضت الطلب عليه مستمر.

(٤،١)



التوصيل الحراري الممتاز ونقطة الانصهار المنخفضة لفلزات المجموعة الأولى جعلها مبردات فعالة جداً، على الرغم من الطرق الخاصة لتداولها واللازمة لإعطائهما

فعاليتها العالية. تستخدم المفاعلات النووية "السريعة" في فرنسا الصوديوم المشهور الدائر لتحويل الطاقة الناتجة من باطنها إلى غلايات بخار.

يستخدم المغنيسيوم بتوسيع في السباائك منخفضة الكثافة؛ لأنّه يتمتّع بقوّة ممتازة وخواص مقاومة للحرارة. وتُستخدم هذه في صناعة الطائرات والمركبات الفضائية وتزود بها صفائح الوقود في المفاعلات النووية "ماجنوكس" Magnox. الليثيوم من مكونات السباائك الخاصة والبطاريات خفيفة الوزن دائمة الاستخدام والموجودة غالباً في الحاسوبات الآلية والكاميرات والأجهزة التقنية الأخرى.

العديد من مركبات عناصر القطاع-s لها أيضاً أهمية صناعية، وهناك كميات هائلة من الملح (كلوري الصوديوم) والحجر الجيري (كربونات الكالسيوم) تُستخدم مباشرة وفي تصنيع المواد الأخرى.

(٤,٢) التواجد والاستخلاص

Occurrence and Extraction

على الرغم من أنّ الصوديوم والبوتاسيوم والمغنيسيوم والكالسيوم متوفّرة تماماً في الطبيعة، إلا أنها لا توجّد مطلقاً في الحالة الحرة كفلزات فعالة جداً.

حيث إنّ العديد من مركبات القطاع-s وخاصة عناصر المجموعة الأولى، القابلة للذوبان في الماء، تميل إلى الانجراف نحو البحر. في المتوسط، يحتوي ماء البحر على حوالي ٣,٥٪ بالكتلة من الأملاح المذابة مع تركيب نموذجي موضح في الجدول رقم (٤,٤). الوفرة النسبية للصوديوم والبوتاسيوم في القشرة الأرضية متّبعة، ولا تشبه الموجودة في ماء البحر، حيث يسود الصوديوم بقوّة، وهذا مصحوب بالذوبان النسبي لأملاح الصوديوم والبوتاسيوم. أملاح الصوديوم أكثر ذوباناً؛ وبالتالي تنجرف بسهولة أكثر نحو البحر.

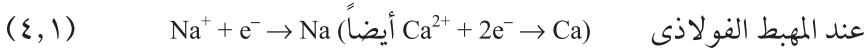
الجدول رقم (٤، ٢). وفرة عناصر المجموعتين الأولى والثانية في ماء البحر.

الكاثيونات	% بالكتلة	الأنيونات	% بالكتلة	% بالكتلة
Li^+	0.000018	F^-	0.0000130	
Na^+	1.105	Cl^-	1.987	
K^+	0.0416	Br^-	0.000673	
Rb^+	0.000012	I^-	0.0000060	
Cs^+	0.0000005	SO_4^{2-}	0.271	
Be^{2+}	0.0000000006	CO_3^{2-}	0.014	
Mg^{2+}	0.133			
Ca^{2+}	0.0422			
Sr^{2+}	0.081			
Ba^{2+}	0.000003			

قبل استخلاص الفلزات من البحر، ينبغي تبخير ماء البحر لتترك المادة الصلبة. وهذا غالباً الثمن بمصطلحات الطاقة، وغالباً من المفضل تجارياً استخدام التربسات للمعادن مثل الملح الصخري (NaCl) والذي يتكون بواسطة التبخير الطبيعي للبحر القديمة. بعض المصادر الرئيسية لتلك العناصر موضحة في الجدول رقم (٤، ٣).

يُستخلص عادة فلاتر القطاع-s الفعالة بالتحليل الكهربائي لكلوريداتها المشهورة. يُستخلص الصوديوم، على سبيل المثال، باستخدام خلية دونز Downs الموضحة في الشكل رقم (٤، ١).

وللتحليل الكهربائي يلزمتنا كلوريد صوديوم سائل. كلوريد الصوديوم له نقطة انصهار عالية وسوف يكون باهظاً بمصطلحات الطاقة أن نسيله. ومع ذلك، فإن مخلوطاً من كلوريد الصوديوم (٤٠٪) وكلوريد الكالسيوم (٦٠٪) له نقطة انصهار أقل بكثير من كلوريد الصوديوم النقي؛ وبالتالي يساعد على خفض تكاليف الطاقة. يحدث التفاعلان الموضحان بالمعادلة رقم (٤، ١) و (٤، ٢) في الخلية عند ٥٨٠°م .



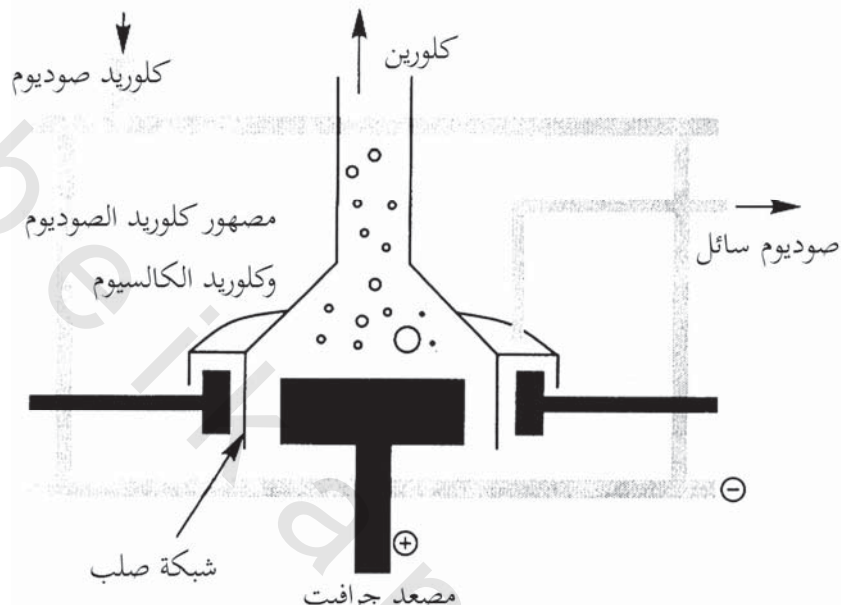
الجدول رقم (٤). معادن فلزات المجموعتين الأولى والثانية.

العنصر	مصادره الشائعة
الليثيوم	السيبوديومين (معدن من البروكسيتات) $(\text{LiAlSi}_2\text{O}_6)$
الصوديوم	ملح الصخري (NaCl) ، تروما (Na_2CO_3) ، الملح الصخري (NaNO_3)
البوتاسيوم	السلفيت (KCl) ، الكامالايت $(\text{KCl} \cdot \text{MgCl}_2 \cdot 6\text{H}_2\text{O})$
الروبيديوم	شوائب في ليبيديوليت الليثيوم المعدني
البريليوم	البريل (حجر كريم) $(\text{Be}_3\text{Al}_2\text{Si}_3\text{O}_6)$
المغنيسيوم	المغنيسيت (MgCO_3) ، الدولوميت $(\text{MgCO}_3/\text{CaCO}_3)$
الكالسيوم	الحجر الجيري (CaCO_3) ، الجبس $(\text{CaSO}_4 \cdot 2\text{H}_2\text{O})$ ، الفلوريت (CaF_2)
الاسترانشيوم	السيلنيت (SrCO_3) ، الاسترونانيت (SrSO_4)
الباريوم	الباريت (BaSO_4)

يتبلور معظم الكالسيوم في الناتج عند التبريد، وربما ينفصل من مصهور الصوديوم. يعود الكالسيوم الصلب إلى خلية التحليل الكهربائي ويتفاعل مع كلوريد الصوديوم لإعادة توليد كلوريد الكالسيوم وتكون صوديوم جديد (المعادلة رقم ٤,٣).



لا نستطيع تكوين فلز البوتاسيوم بهذه الطريقة بسبب ذوبانيته العالية في المصهور وبسبب تطايره العالي. حقاً، احتزال مصهور كلوريد البوتاسيوم، KCl ، مع فلز الصوديوم عند 850°C ينتج عنه تكوين بوتاسيوم فلزي في عملية متوازنة. هذه العملية تزيح التوازن لتسمح باستمرار التفاعل. تستخدم العمليات المشابهة لتصنيع الروديوم والسيزيوم الفلزي.



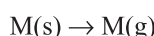
الشكل رقم (٤,٤). تمثيل تخطيطي لخلية دونز.

(٤,٣) الشكل البائي للعناصر

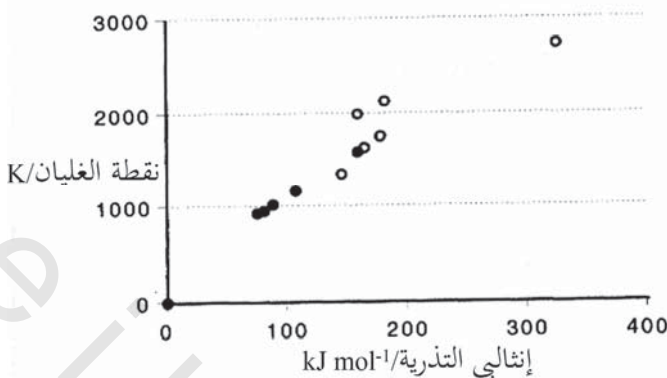
Structure of the Elements

تُعرَّف طاقة التذرية بأنها التغير في الحتوى الحراري عند إنتاج مول واحد من الذرات الغازية من العنصر في أكثر الحالات استقراراً عند 25°C وضغط جوي واحد. بالنسبة لفلزات القطاع-s، يمكن تمثيل ذلك بالمعادلة رقم (٤,٤).

(٤,٤)



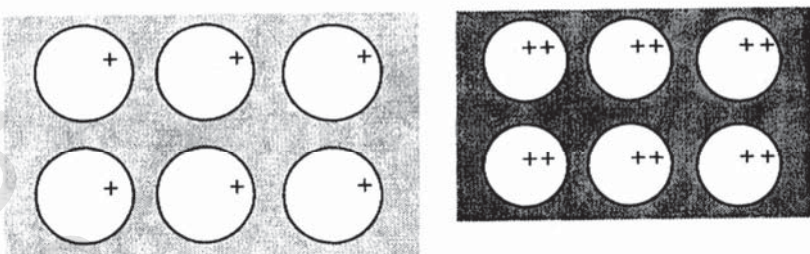
يقيس كلٌّ من طاقة التذرية ونقطة الغليان (الجدول رقم ٤,١) الطاقة اللازمة للتغلب تماماً على قوى التجاذب التي تمسك الجزيئات معاً في النظام الشبكي الفلزي. كما يبدو من الشكل رقم (٤,٢)، توجد علاقة جيدة بين تلك الخواص لعناصر القطاع-s. عموماً، يمكن متابعة التغير في نقطة الغليان باليوول في نقطة الانصهار لتلك العناصر.



الشكل رقم (٤،٢). العلاقة بين نقطة الغليان وطاقة التذرية لعناصر القطاع-هـ. الدوائر المصنفة لعناصر المجموعة الأولى والدوائر الموجفة لعناصر المجموعة الثانية.

ت تكون الفلزات من صفوف منتظمة من الذرات. في النظام الشبكي البلوري الفلزي تتدخل الإلكترونات الخارجية لذرات الفلز مع ذرات الفلز المجاورة. التداخل عبارة عن تجاذب بين تلك الإلكترونات، السالبة الشحنة، والأئوية المجاورة، الموجبة الشحنة. ويمكن التعبير عن ذلك بتدخل مدارات الإلكترون الخارجي مع مدارات الذرات المحيطة. طريقة واحدة لتوضيح ذلك بعدم تمركز الإلكترونات الخارجية كبحر متحرك تُغمر فيه كاتيونات الفلز (الشكل رقم (٤,٣)).

يمكن اعتبار الرابط الفلزي بمثابة التجاذب بين أئوية أيونات الفلز وبحر الإلكترونات غير المتمركز. تزداد قوة التجاذب مع كثافة البحر الإلكتروني وشحنة النواة، ولكنها تقل مع زيادة نصف قطر الأيون وعدد الإلكترونات الداخلية المحجوبة. تزداد طاقة التذرية ونقطة الغليان ونقطة الانصهار عند الانتقال خلال المجموعتين الأولى والثانية، ولكن تقل عموماً عند المرور لأسفل أي منها. يُفسّر الحيوان هذا النموذج البسيط في المجموعة الثانية بالفروق في طريقة تبعية ذرات الفلز



مجموعة ١

مجموعة ٢

الشكل رقم (٤،٣). يؤكد عمق التضليل في تلك الأشكال البنائية الفلزية الكثافة النسبية للإلكترونات غير المتمركزة.

معاً في النظام الشبكي الفلزي لهم. تُعبأ جميع عناصر المجموعة الأولى في نظام تشابكي على شكل مكعب. ومع ذلك ، في المجموعة الثانية ، البريليوم والمغنيسيوم معابة بإحكام على شكل سداسي الأضلاع والزوايا ، الكالسيوم والاسترانشيوم معابة بإحكام على شكل مكعب ، والباريوم على شكل مكعب مركزي الجسم.

(٤،٤) الميل الدورية أسفل عناصر القطاع-s

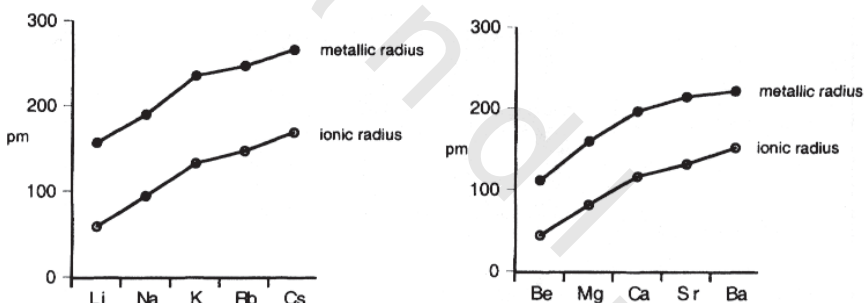
Periodic Trends Down the s-Block Elements

يُلخص الجدول رقم (١،٤) بعض الخواص الذرية والفيزيائية الرئيسية لعناصر القطاع-s. يتأثر الحجم الذري ، المعطى هنا بواسطة نصف القطر الفلزي ، بثلاثة عوامل رئيسية :

- الشحنة على النواة *the charge on the nucleus* ، تُرسم الإلكترونات أقرب للنواة ، ولهذا تميل إلى تقليل حجم الذرة.
- عدد الألگفة المحتوية على الإلكترونات *the number of inner electrons* : البدء بغلاف زائد يزيد من نصف القطر الذري.

• عدد الإلكترونات الداخلية *the number of inner electrons* التي تساعد على حجب *electrons screen* الإلكترونات الخارجية من جذب النواة. كلما ازداد هذا الحجب سوف يزداد حجم الذرة. ويعود هذا التأثير إلى عدد أغلفة الإلكترونات في الذرة.

عند الانتقال خلال الدورة، فإن التغيير فقط في زيادة شحنة الذرة؛ ولهذا فإن ذرة المجموعة الثانية تكون دائمًا أصغر من ذرة المجموعة الأولى (الشكل رقم ٤,٤). هذا يسبب القابلية الزائدة للنواة لجذب الإلكترونات. عند الانتقال لأسفل أي من المجموعتين، فإن تأثير زيادة شحنة النواة يُرجح بإضافة غلاف زائد مشغول وبالتالي يزداد عدد الإلكترونات الداخلية المحجوبة، وينتج عن ذلك زيادة في حجم الذرة.

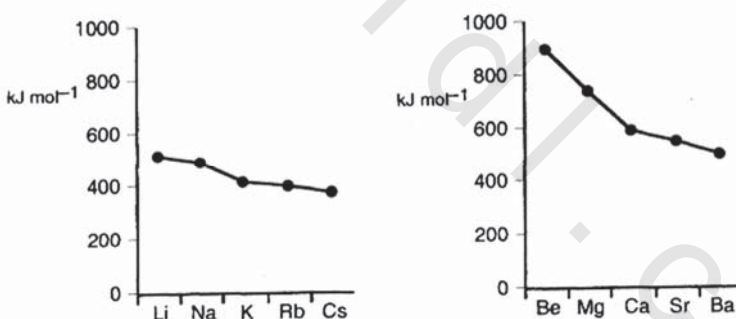


الشكل رقم (٤,٤). نصف قطر الفلزي والأيوني لعناصر المجموعتين الأولى والثانية.

عند التفاعل، تُزال الإلكترونات في الغلاف الخارجي للعناصر من الكاتيونات. كلما ظلت شحنة النواة دون تغيير، يقل عدد الأغلفة الإلكترونية وعدد الإلكترونات المحجوبة، كاتيونات القطاع-s أصغر من ذراتها الأصلية. التغير في نصف قطر الذرة أو الأيون موضح بالرسم في الشكل رقم (٤,٤). عموماً، الكاتيونات أصغر دائمًا من الذرات الأصلية.

تتأثر معظم الخواص الأخرى لعناصر القطاع-s بنفس العوامل التي تحدد حجم الذرة. طاقة التأين الأولى (الشكل رقم ٤,٥) هي التغير في الطاقة عند إزالة إلكترون من الذرة في الحالة الغازية (المعادلة رقم ٤,٥). تتعين القيم عموماً من الطيف البصري. ينبغي التغلب على جذب النواة لأقرب إلكترون مرتبط بها. يزداد ذلك كلما ارتفعت شحنة النواة، ولكن يقل كلما ازداد كلٌّ من حجم الذرة وعدد الإلكترونات الداخلية المحبوبة. وبالتالي، فإن طاقة التأين الأولى للفلزات القلوية الأرضية (المجموعة الثانية) أكبر منها للفلزات القلوية (المجموعة الأولى) في نفس الدورة، ولكن تقل القيمة عند المرور لأسفل أي من المجموعتين.

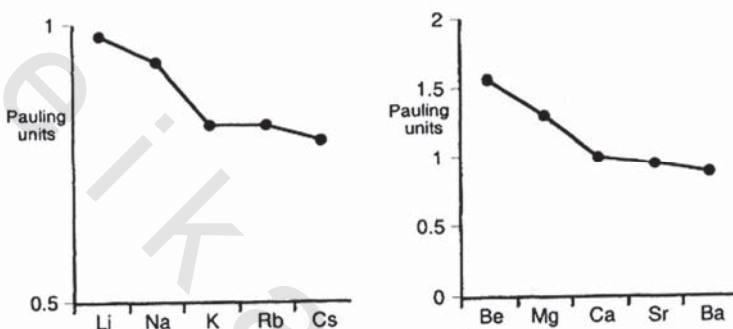
(٤,٥)



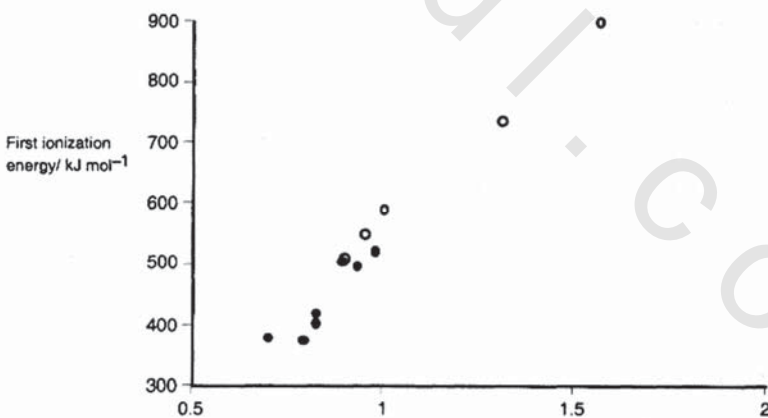
الشكل رقم (٤,٥). طاقات التأين الأولى لعناصر المجموعتين الأولى والثانية.

السالبية الكهربية مقياس لجذب الذرة للإلكترونات في الرابطة التساهمية عندما تكون تلك الذرة في جزيء. عموماً، تقل السالبية الكهربية لأسفل الجدول الدوري وتزداد من اليسار إلى اليمين عبر الجدول كما هو موضح في الشكل رقم (٤,٦). طاقة التأين مقياس أيضاً للميل إلى جذب الإلكترونات، ولو أنها في الذرات بدلاً من

الجزئيات. كما هو موضح في الشكل رقم (٤,٧)، هناك علاقة قوية جداً بين السالبية الكهربائية وطاقة التأين الأولى في القطاع-s.



الشكل رقم (٤,٦). ميل المجموعة في السالبية الكهربائية لعناصر المجموعتين الأولى والثانية.



الشكل رقم (٤,٧). العلاقة بين السالبية الكهربائية وطاقة التأين الأولى. الدوائر المصمتة لعناصر المجموعة الأولى والدوائر المفرغة لعناصر المجموعة الثانية.

(٤,٥) جهد القطب القياسي

Standard Electrode Potential, E°

يقيس جهد القطب القياسي ميول العنصر للتأين في المحلول تحت ظروف قياسية، على سبيل المثال، ١ ضغط جوي، ودرجة حرارة 25°C وتراكيز مائة M. اعتبر المعادلة رقم (٤,٦) و (٤,٧).

(٤,٦)	$M^+(aq) + e^- \rightleftharpoons M(s)$	لجميع الفلزات القلوية
(٤,٧)	$M^{2+}(aq) + 2e^- \rightleftharpoons M(s)$	لجميع الفلزات القلوية الأرضية

للقيمة الأكثر سالبية من E° ، تقع التوازنات لتلك المعادلات غالباً ناحية اليسار، مفضلاً للأيونات، حيث إن طاقة التأين الأولى تقلع عند المرور لأسفل الدورة، سوف تُصبح قيمة E° أكثر سالبية أيضاً. وببقى ذلك حقيقةً للمجموعة الثانية (الجدول رقم ١,٤). ومع ذلك، يُظهر الجدول رقم (١,٤) أيضاً أن الليثيوم عند قمة المجموعة الأولى له قيمة E° الأكثر سالبية لجميع.

ويقع تفسير ذلك في نطاق علم الطاقة بتكوين أيونات مائة من الفلز. بصرف النظر عن طاقة التأين الأولى، هناك تغير آخران في المحتوى الحراري يتضمنان: التذرية *atomization* والتتميم *hydration* (لعناصر المجموعة الأولى: المعادلة رقم ٤,٨ و ٤,٩ و ٤,١٠). كما تُظهر البيانات في الجدول رقم (٤,٤)، الطاقة المنطلقة عند تميي أيون الليثيوم الصغير يجعل التغير الكلي في المحتوى الحراري لتكوين $\text{Li}^+(aq)$ من الفلز مفضلاً أكثر لأي من فلزات المجموعة الأخرى.

(٤,٨)	$M(s) \rightarrow M(g)$	التذرية
(٤,٩)	$M(s) \rightarrow M^+(g) + e^-$	التأين
(٤,١٠)	$M^+(g) \rightarrow M^+(aq)$	التتميم

الجدول رقم (٤،٤). بصرف النظر عن العمود الأخير، جميع القيم بوحدة الكيلو جول/مول.

العنصر	طاقة التدريبية $M(s) \rightarrow M(g)$	طاقة التأين الأولى $M(g) \rightarrow M^+(g)$	طاقة التميم $M^+(g) \rightarrow M^+(aq)$	للمحتوى الحراري $M(s) \rightarrow M^+(aq)$	التغير الكلي $E^\circ / \text{فولت}$
Li	+159	+519	-519	+159	-3.04
Na	+107	+494	-406	+195	-2.71
K	+89	+418	-322	+185	-2.92
Rb	+81	+402	-301	+182	-2.92
Cs	+76	+376	-276	+176	-2.92

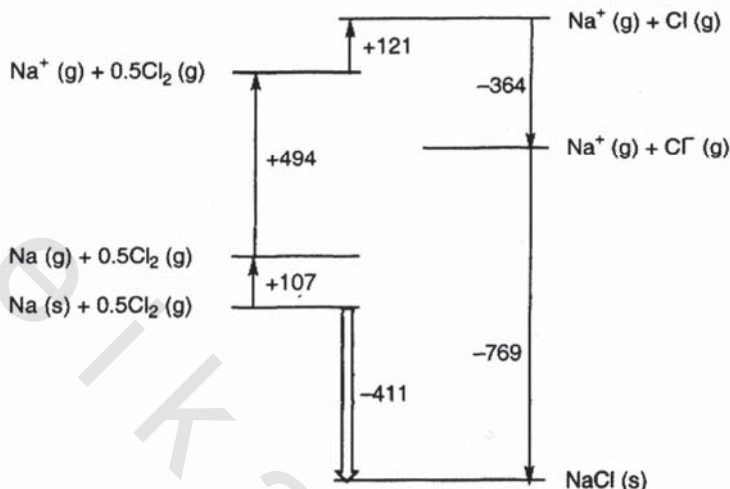
(٤،٦) التفاعلات النموذجية

Typical Reactions

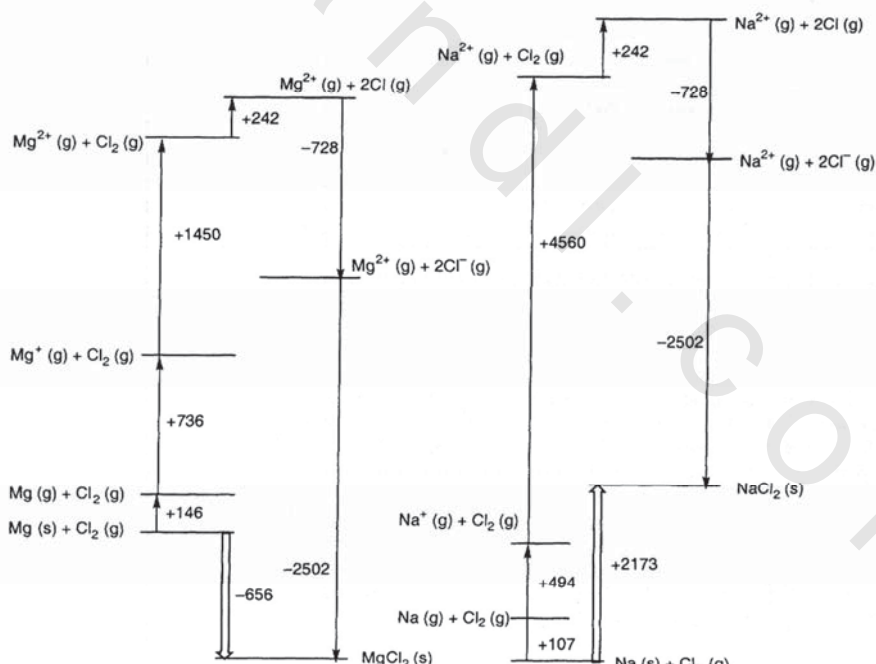
يتحكم في كيمياء العناصر ميلها لفقد الإلكترونات لتكون M^+ في حالة عناصر المجموعة الأولى أو M^{2+} في حالة عناصر المجموعة الثانية. تتفاعل جميع فلزات القطاع-s مع اللافزات سالبة الشحنة، مثل الهالوجينات؛ لتكون مركبات أيونية. مع الكلور، على سبيل المثال، تكون الفلزات القلوية مواداً صلبة متبلورة لها الصيغة العامة MCl . يتضمن التغيير في المحتوى الحراري تكوين $NaCl(s)$ من عناصره، موضح ذلك في دورة بورن-هابر في الشكل رقم (٤،٨).

القوة المحركة الرئيسية لهذا التفاعل هي طاقة الترابط البلوري العالية للكلوريد الصوديوم، وهي الطاقة المنطلقة عند تكوين النظام الشبكي الأيوني الصلب من الأيونات الغازية المنفصلة، وهذا أكثر مما يعادل الطاقة اللازمة لتكون الأيونات من العناصر.

تفاعل الفلزات القلوية الأرضية أيضاً مع الكلور، ولكنها تكون مركبات أيونية صلبة لها الصيغة العامة MCl_2 . دورة بورن-هابر لتكوين $MgCl_2$ موضحة في الشكل رقم (٤،٩). مرة أخرى، يعود ثبات هذا المركب بدرجة كبيرة إلى طاقة الترابط البلوري. طاقة الترابط البلوري أكبر بالنسبة إلى $MgCl_2$ عن $NaCl$ ، حيث إن أيونات Mg^{2+} تجذب أيونات Cl^- بقوة أكبر عن أيونات Na^+ .



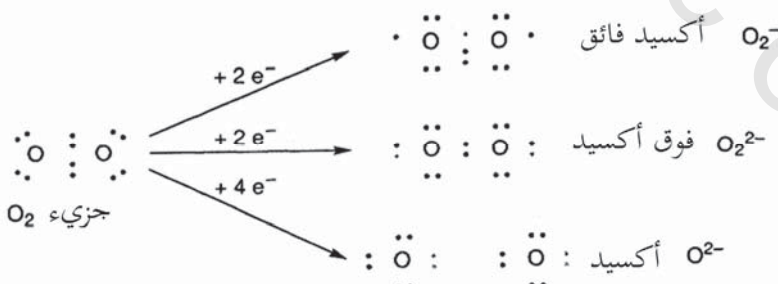
الشكل رقم (٤,٨). دورة بورن-هابر لتكوين $\text{NaCl}(s)$ (جميع القيم بوحدة كيلو جول/مول).



الشكل رقم (٤,٩). دورة بورن-هابر لتكوين MgCl_2 (على اليسار) والمركب الافتراضي NaCl_2 (على اليمين) (جميع القيم بوحدة كيلو جول/مول).

إذن، لماذا لا يتفاعل الصوديوم مع الكلور ليكون NaCl_2 ? إذا افترضنا أولياً أن المحتوى الحراري للترابط البلوري لهذا المركب سوف يكون مثل MgCl_2 ، ومن ثم تكون دورة بورن-هابر لتكوينه موضحة في الشكل رقم (٤،٩). يوضح ذلك أن NaCl_2 سوف يكون أقل ثباتاً من العناصر المكونة له. وهذا بسبب القيمة العالية جداً لطاقة التأين الثانية للصوديوم (الجدول رقم ١،٤). يتضمن ذلك إزالة إلكترون من تحت المستوى $2p$ الداخلي، المستوى الذي له جذب أكبر بكثير للنواة عن مستوى التكافؤ $3s$. ولهذا، تكون فلزات القطاع-s مركبات أيونية، حيث تفقد ذراتها إلكترونات s الخارجية فقط، حيث إن إزالة أي إلكترونات أخرى غير مفضل من ناحية علم الطاقة.

على الرغم من أن جميع فلزات القطاع-s تتفاعل بطريقة مشابهة مع الكلور، إلا أنه من المحتمل أن ينتج أنواع مختلفة من المركبات عند التفاعل مع الأكسجين. تحت ظروف معينة، مثل تكوين أيونات الأكسيد، O^{2-} ، يمكن أن تقبل جزيئات الأكسجين وإلكترونًا أو إلكترونين لتكوين أيونات الأكسيد الفائق، O_2^- ، وفوق الأكسيد، O_2^{2-} ، على التوالي (الشكل رقم ٤،١٠). عند استخدام زيادة من الفلز، يتكون الأكسيد البسيط عادة (المعادلة رقم ٤،١١ و ٤،١٢).

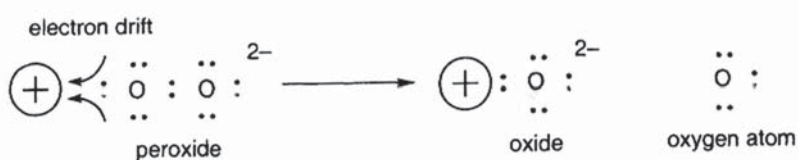


الشكل رقم (٤،١٠). تكوين الأكسيد الفائق وفوق الأكسيد والأكسيد من جزيئات الأكسجين.

- (٤, ١١) $4M(s) + O_2(g) \rightarrow 2M_2O(s)$ المجموعة الأولى
 (٤, ١٢) $2M(s) + O_2(g) \rightarrow 2MO(s)$ المجموعة الثانية
- النواتج الرئيسية المتحصل عليها عند تسخين الفلزات في زيادة من الأكسجين
 عند الضغط الجوي هي :

$Li \rightarrow Li_2O$	$Be \rightarrow BeO$	(الأكسيد)
$Na \rightarrow Na_2O_2$	$Mg \rightarrow MgO$	(الأكسيد)
$K \rightarrow KO_2$	$Ca \rightarrow CaO_2$	(فوق الأكسيد)
$Rb \rightarrow RbO_2$	$Sr \rightarrow SrO_2$	(فوق الأكسيد)
$Cs \rightarrow CsO_2$	$Ba \rightarrow Ba(O_2)_2$	(الأكسيد الفائق)

يبدو أن مقدرة أي فلز من القطاع-s على تكوين فوق الأكسيد أو الأكسيد الفائق يعتمد على نصف قطر ذلك الكاتيون (الجدول رقم ٤, ١). الكاتيونات الأكبر فقط تكون الأكسيد الفائق، بينما أيونات الفلزات الأصغر قليلاً تكون فوق الأكسيد، والكاتيونات الأصغر من Na^+ تكون فقط الأكسيد العادي. ويكمّن السبب في ضعف الرابطة التي تربط ذرات الأكسجين في O_2^- وعلى وجه الخصوص في O_2^{2-} . إذا جذبت نواة الكاتيون الإلكترونات بقوة كافية، فإن تلك الروابط تنكسر مطلقة غاز الأكسجين ومكونة الأكسيد العادي (الشكل رقم ٤, ١١).



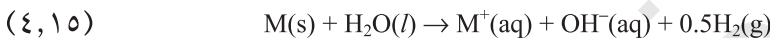
الشكل رقم (٤, ١١). تمثيل تخطيطي لكسر رابطة فوق الأكسيد.

يقل جذب الكاتيون للإلكترونات عند المرور لأسفل القطاع-s حيث يزيد نصف قطر الأيون وعدد الإلكترونات المhogوية الداخلية يفوق تأثير زيادة شحنة النواة. حيث إن كاتيونات المجموعة الثانية أصغر من نظيراتها في المجموعة الأولى، فإن تلك العناصر أقل تفضيلاً لتكوين فوق الأكسيد والأكسيد الفائقة.

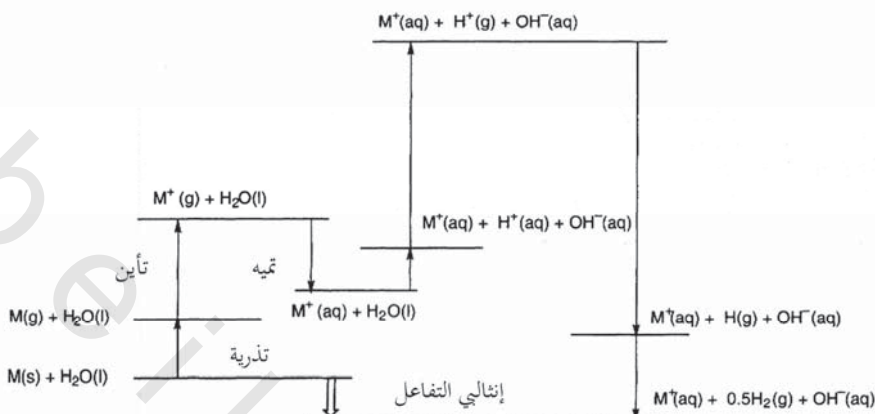
تستخدم فوق الأكسيد والأكسيد الفائقة لتحل محل الأكسجين وتزيل ثاني أكسيد الكربون في الغواصات والعربات الفضائية التي يقودها الإنسان، حيث إنه من غير العملي أن نحمل إمدادات كافية من الهواء النقي (المعادلة رقم ٤, ١٣ و ٤, ١٤).



تفاعل جميع الفلزات القلوية مع الماء البارد لتكوين غاز الهيدروجين وهيدروكسيد الفلز المائي (المعادلة رقم ٤, ١٥). يزداد عنف هذا التفاعل بشكل مرضٍ أسفل المجموعة.



أي دورة طاقة لهذا التفاعل موضحة في الشكل رقم (٤, ١٢). ثلاثة فقط من تغيرات المحتوى الحراري تشمل الفلز: التذرية والتأين والتميي للأيون $M^+(g)$ (المعرفة القيم انظر الجدول رقم ٤, ٥). تتضمن تغيرات المحتوى الحراري المتبقية الماء فقط ونواتجه (الشكل رقم ٤, ١٣).



الشكل رقم (١٢، ٤). دورة الطاقة لفاعل فلز قاعدي مع الماء.

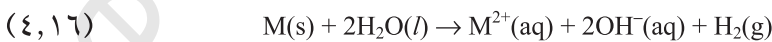
الجدول رقم (٥، ٤). المحتوى الحراري للتذرية والتأين والتسميه للأيون $M^+(g)$.

Cs	Rb	K	Na	Li	$\Delta H/kJ mol^{-1}$
+76	+81	+89	+107	+159	التذرية، M
+376	+402	+418	+494	+519	M، تأين
-276	-301	-322	-406	-519	M^+ ، تسميه
-380	-380	-380	-380	-380	(الماء)
-204	-203	-195	-1853	-221	الكلي

	$\Delta H/kJ mol^{-1}$
$H_2O(l) \rightarrow H^+(aq) + OH^-(aq)$	+57
$H^+(aq) \rightarrow H^+(g)$	+1091
$H^+(g) + e^- \rightarrow H(g)$	-1310
$H(g) \rightarrow 0.5H_2O(g)$	-218
$H_2O(l) + e^- \rightarrow OH^-(aq) + 0.5H_2(g)$	-380

الشكل رقم (١٣، ٤). احتزان الماء بواسطة الكترون.

التفاعل مع الماء يُصبح طارداً أكثر للحرارة وأشد قسوة عند المرور لأسفل المجموعة الأولى، ومن الكالسيوم لأسفل الفلزات القلوية الأرضية يتفاعل أيضاً مع الماء البارد، على الرغم من أنها أقل عنفاً من مثيلاتها فلزات المجموعة الأولى (المعادلة رقم ٤,١٦).



٤,٧) المركبات

Compounds

معظم مركبات الفلزات والفلزات القلوية الأرضية لها خواص أيونية نوذرية. وبالتالي، فإنها مواد صلبة بلورية ذات نقاط انصهار عالية وتوصل الكهرباء عندما تكون مصهورة أو في محلول. ومع ذلك، ومثلاً يحدث مع الفلزات، بعض التغيرات في خواص المركبات واضحة عند المرور لأسفل كل مجموعة. بيانات الذوبانية في الماء للكلوريدات والهيدروكسيدات والكبريتات والكربونات ملخصة في الجدول رقم (٤,٦).

على الرغم من أن التعامل التام مع هذا الموضوع يتضمن الطاقة الحرية، يوضح ذلك الجدول، خلال أي سلسلة خاصة من المركبات، تزييد الذوبانية الجزيئية عموماً كلما أصبح المحتوى الحراري للمحلول طارداً أكثر للحرارة. يمكن اعتبار أن العملية الكلية للتذابح تحدث في مراحل. ينبغي الإمداد بالطاقة لفصل الأيونات في النظام الشبكي، ولكنها تنطلق عند تمييز الأيونات منفردة. كمثال، قارن هيدروكسيد الصوديوم مع هيدروكسيد المغنيسيوم. تتضمن التغيرات في المحتوى الحراري لكل مركب ما هو واضح في الشكل رقم (٤,١٥) و (٤,١٦).

الجدول رقم (٦، ٤). التراكيز المولية للمحاليل المائية المشبعة لبعض مركبات القطاع-s عند K 293. المحتوى الحراري المولاري للمحلول بوحدة الكيلو جول موضحة بين الأقواس.

الكلوريد	الهيدروكسيد	الكريونات	الكبريتات	الكلورونات
الليثيوم	19.5 (-37)	5.3 (-21)	3.2 (-30)	0.2 (-18)
الصوديوم	6.2 (+4)	27.3 (-43)	1.4 (-2)	2.0 (-25)
البوتاسيوم	4.7 (+17)	20.0 (-55)	0.6 (+24)	8.1 (-33)
الروبيديوم	7.6 (+17)	17.4 (-63)	1.8 (+24)	19.6 (-40)
السيزريوم	11.0 (+18)	22.2 (-71)	4.9 (+17)	مرتفع (-53)
البريليوم	مرتفع	منخفض	3.7	(غير مستقر)
المغنيسيوم	5.7 (-155)	منخفض (+6)	2.8 (-91)	منخفض (-25)
الكالسيوم	6.7 (-83)	منخفض (-16)	منخفض (-18)	منخفض (-12)
الاسترانشيوم	3.4 (-52)	0.1 (-46)	منخفض (-9)	منخفض (-3)
الباريوم	1.7 (-13)	0.2 (-52)	منخفض (+19)	منخفض (+4)

		$\Delta H/kJ mol^{-1}$
النظام الشبكي المتاخر	$Na^+OH^-(s) \rightarrow Na^+(g) + OH^-(g)$	+823
أيونات الهيدرات	$Na^+(g) \rightarrow Na^+(aq)$	-406
	$OH^-(g) \rightarrow OH^-(aq)$	-460
الكتل	$Na^+OH^-(s) \rightarrow Na^+(aq) + OH^-(aq)$	-43

الشكل رقم (١٥، ٤). تفكك هيدروكسيد الصوديوم.

		$\Delta H/kJ mol^{-1}$
النظام الشبكي المتاخر	$Mg^{2+}(OH)_2^-(s) \rightarrow Mg^{2+}(g) + 2OH^-(g)$	+2846
أيونات الهيدرات	$Mg^{2+}(g) \rightarrow Mg^{2+}(aq)$	-1920
	$2OH^-(g) \rightarrow 2OH^-(aq)$	-920
الكتل	$Mg^{2+}(OH)_2^-(s) \rightarrow Mg^{2+}(aq) + 2OH^-(aq)$	+6

الشكل رقم (١٦، ٤). تفكك هيدروكسيد المغنيسيوم.

ليس فقط المحتوى الحراري للمحلول أقل تفضيلاً لميدروكسيد المغنيسيوم، ولكن طاقة الترابط البلوري الأعلى تمثل طاقة تنشيط أكبر، وتمثل حاجز طاقة تنشيط أكبر للذوبان. لا تندهش أن هيدروكسيد الصوديوم يذوب بسهولة في الماء. بينما هيدروكسيد المغنيسيوم يذوب فقط بشكل طفيف.

كلوريدي الليثيوم والبريليوم غير عاديين في القطاع-s، لكونهما يذوبان بدرجة ليست قليلة في المذيبات العضوية مثل الكحولات. يؤكّد هذا السلوك الخاصية التساهمية المعتبرة في الرابط. لجميع المركبات الأيونية، هناك ميول للكاتيون جذب الإلكترونات من الأنيون. إذا كان التأثير كبيراً بدرجة كافية فإن ذلك يؤدي إلى مشاركة جزئية للإلكترونات من الأنيون بواسطة الكاتيون، وتلك هي الخاصية التساهمية. الأحجام الصغيرة للأيونين Li^+ و Be^{2+} ، وبالتالي كثافة الشحنة العالية، يجعلهما جاذبين بقوة للإلكترونات وقدرين على تشويه الأنيونات الكبيرة نسبياً مثل Cl^- و Br^- و I^- (الشكل رقم ٤, ١٧).



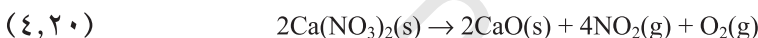
الشكل رقم (٤, ١٧). تشوه الأنيون بواسطة الكاتيون.

تحلل كربونات ونترات عناصر القطاع-s عادة عند التسخين. عموماً، أملاح الفلزات القلوية أكثر ثباتاً من الفلزات القلوية الأرضية، ويزداد الثبات الحراري عند النزول لأسفل كل مجموعة. على سبيل المثال، كربونات الليثيوم وكربونات المجموعة الثانية تكون الأكسيد وثاني أكسيد الكربون عند التسخين بينما كربونات المجموعة الأخرى الأولى ثابتة حرارياً (المعادلة رقم ٤, ١٧ و ٤, ١٨).



في الواقع، مثل هذه التفاعلات تتضمن ببساطة كسر أيون الكربونات، ويعزز ذلك بتأثير الاستقطاب على الكاتيون، والذي يجذب الكثافة الإلكترونية من الأنيون. إذا كان الكاتيون صغيراً بدرجة كافية، فإن كثافة الشحنة تسبب استقطاباً كافياً لكسر الروابط خلال أيون الكربونات.

يحدث تأثير مشابه لنترات القطاع-s. فقط نترات الليثيوم والفلزات القلوية الأرضية تتفكك تماماً عند التسخين لتعطي أكسيد الفلز (المعادلة رقم ٤,١٩ و ٤,٢٠).



تففكك نترات الفلزات القلوية عند التسخين، ولكن فقط إلى النيتريت والأكسجين (المعادلة رقم ٤,٢١).



(٤,٨) كلوريد الليثيوم: امتصاص الماء والحماية من الصدأ

Lithium Chloride: Water Absorption and Rust Protection

تكلفة حماية العوارض الصندوقية الفولاذية الداخلية التي تصنع القوس الشمالي لجسر هامبر الباهر في المملكة المتحدة بالدهان حوالي خمسة ملايين جنيه إسترليني تقريباً (سبعة ملايين ونصف المليون دولار أمريكي). ومع ذلك، يمكن إيقاف التآكل عن لوحة جسر هامبر باستخدام مادة مخففة للرطوبة مبنية على كلوريد الليثيوم تتكلف فقط عشرة آلاف جنيه إسترليني (خمسة عشر ألف دولار أمريكي). هذا النظام

مستخدم بالفعل للتحكم في الهواء الجوي داخل غرف الخرسانة الثابتة التي تشمل على الكابلات المعلقة عند أي من طرفي الجسر.

يُسحب الهواء الرطب من داخل الغرف خلال عملية تدور ببطء مشبعة بكلوريد الليثيوم. مثل معظم كلوريدات الفلزات القلوية، يتتص هذا المركب الرطوبة بسهولة من الهواء. تزال هذه الرطوبة بنفخ الهواء الساخن خلال العجلة ومن ثم يُقذف خلال أنبوب إلى خارج الجسر. تقل الرطوبة النسبية داخل الحجرات إلى حوالي ٪٣٥، وهي كافية لإيقاف تآكل الكابلات.